

نشریه علمی-پژوهشی جغرافیا و برنامه‌ریزی (دانشکده جغرافیا)، سال ۱۷، شماره ۴۳، بهار ۱۳۹۲، صفحات ۷۱-۹۱

تاریخ پذیرش نهایی: ۱۳۹۰/۱۲/۱۳

تاریخ دریافت: ۱۳۸۹/۱۰/۳۰

## بورسی میزان روان آب و رسوب در رخمنونهای مارنی استان آذربایجان شرقی

احمد حبیبزاده<sup>۱</sup>

محمد رضا نیکجو<sup>۲</sup>

همیدرضا پیروان<sup>۳</sup>

### چکیده

واحدهای مارنی در قلمروی حوضه‌های آبخیز استان آذربایجان شرقی گسترش قابل ملاحظه داشته، و موجب انواع ناهنجاری‌های طبیعی از جمله فرسایش خاک، انواع رخسارهای فرسایشی (سطحی، شیاری - گالی) و رسوب‌زایی بالا در حوضه‌ها هستند. در این پژوهش ابتدا نقشه زمین‌شناسی استان رقومی شده و نقشه سنگ‌شناسی تهیه گردید. پس از آن نواحی رخمنون مارنی با توجه به سازندهای زمین‌شناسی اسخراج شدند. بر این اساس سه واحد مارنی شامل مارن اوسن، مارن کرتاسه و مارن میوسن تعیین گردید سپس نقشه اقلیم و نقشه شیب استان در سیستم GIS و نرم‌افزار ILWIS قطع داده شدند و در نهایت نقشه نهایی مارن‌های استان و واحدهای کاری تعیین گردیدند. میزان روان آب و رسوب‌زایی مارن‌ها بر روی پهنه‌های مارنی با استفاده از باران‌ساز صحرایی اندازه‌گیری گردید. نتایج نشان داد که بیشترین رواناب و رسوب جمع آوری شده مربوط به مارن میوسن می‌باشد که حداقل رسوب جمع آوری شده با مقدار ۱۴۵ گرم بر لیتر در فرسایش خندقی و در شیب ۱۰-۳۰ درصد اتفاق افتاده است. حداقل رسوب و روان آب جمع آوری شده مربوط به مارن کرتاسه به خصوص در فرسایش سطحی بوده که مقدار آن ۰/۹۴ گرم بر لیتر می‌باشد.

۱- دانشجوی دکتری جغرافیای طبیعی (ژئومورفولوژی) دانشگاه تبریز، کارشناس ارشد مرکز تحقیقات کشاورزی و منابع طبیعی آذربایجان‌شرقی.

Email:nikjoo1347@gmail.com.

۲- استادیار گروه جغرافیای طبیعی دانشگاه تبریز.

۳- استادیار مرکز تحقیقات حفاظت خاک و آبخیزداری کشور.

ضریب هبستگی شب توبوگرافی با مقدار روان آب برابر با ۰/۴۷۹، بوده و از نظر آماری ارتباط آنها با هم کاملاً معنی‌دارهستند. ضریب هبستگی ساده بین روان آب با مقدار رسوب برابر ۰/۴۵۲. بوده و ارتباط آنها باهم خیلی معنی‌دار است. ضریب هبستگی بین مقدار رسوب ناشی از فرسایش خاک توسط باران‌ساز با کربن آلی و مواد خنثی شونده برابر با ۰/۳۷۴ و ۰/۳۸۲. بوده و ارتباط معنی‌دار دارند.

**واژگان کلیدی:** روان آب، رسوب، رخمنون، مارن، آذربایجان شرقی.

## مقدمه

فرسایش خاک از مهم‌ترین معضلات زیست محیطی، کشاورزی و تولید غذا در جهان به شمار می‌آید. در مناطقی که فرسایش کنترل نمی‌شود، خاک‌ها به تدریج فرسایش یافته، حاصلخیزی خود را از دست می‌دهند. فرسایش نه تنها سبب فقری شدن خاک و متروک شدن مزارع می‌گردد، و از این راه خسارات زیاد و جبران ناپذیری بجا می‌گذارد، بلکه با رسوب مواد در آبراهه‌ها، مخازن، سدها، بنادر و کاهش ظرفیت آبگیری آنها نیز سبب زیان‌های فراوان می‌گردد. بنابراین نباید مسئله حفاظت خاک را کوچک و کم‌اهمیت شمرد. امروزه حفاظت خاک و مبارزه با فرسایش از ضروری‌ترین اقدامات هر کشور می‌باشد. مناطق مارنی فرسایش‌پذیرترین نواحی در برابر عوامل فرسایش هستند و در مناطق خشک بیشترین سهم منشاء رسوبات را به خود اختصاص می‌دهند. این خاک‌ها در اغلب نقاط ایران به رنگ‌های مختلفی چون خاکستری، قرمز و سبز دیده می‌شوند. خصوصیات عمدی این خاک‌ها نفوذپذیری کم، فقدان یا فقری بودن پوشش گیاهی وایجاد اشکال فرسایشی بدیندی در آنها می‌باشد. رخمنون‌های مارنی در حوضه‌های آبخیز کشور همواره مشکل‌ساز بوده و یکی از مهم‌ترین منابع تولیدکننده رسوب به حساب می‌آیند. انواع فرسایش سطحی، شیاری و خندقی و تونلی در این اراضی به وقوع می‌پیوندد. مطالعاتی که در داخل و خارج کشور در خصوص رسوب‌دهی حوضه‌های آبخیز صورت گرفته، نقش اساسی سازنده‌های مارنی را در تولید رسوب بارز ساخته است.

فرسایش‌پذیری مارن‌ها بستگی به فاکتورهای محیطی همچون توزیع باران و فاکتورهای ذاتی آنها دارد. براساس مطالعات پایه‌ای انجام یافته معلوم شده که وجود ترکیباتی مانند مواد آلی، اکسیدهای آهن و آلومینیم باعث پایداری مارن‌ها و بیون‌های سدیم موجب متلاشی شدن ذرات رسی و تشديد فرسایش می‌شوند. بنابراین نسبت تغییرات سدیم شاخص خوبی جهت پخش شدگی ذرات مارن و رس است. طبقات مارنی ضمن ایجاد گل آلدگی آب‌ها، به دلیل دارا بودن کاتیون‌های قلیایی محلول مانند  $\text{Na}^+$  و  $\text{K}^+$  و آنیون‌هایی چون  $\text{SO}_4^{2-}$  می‌تواند به شدت کیفیت آب را تحت تأثیر قرار داده و آن را غیرقابل استفاده نماید. شوری بسیاری از رودخانه‌های کشور ناشی از طبقات مارنی حاوی لایه‌های گچ و نمک می‌باشد.

با توجه به این که مارن‌ها حوضه‌های آبخیز کشور از نظر خصوصیات فیزیکی، شیمیایی و ژئومورفولوژیکی متفاوت می‌باشند و تأثیر این عوامل بر شدت و نوع فرسایش امری حتمی است. با شناخت دقیق عوامل موثر می‌توان با انجام آزمون‌های محدوده حساسیت پهنه‌های مارنی حوضه‌های آبخیز را شناسایی نمود. هدف از اجرای این پژوهش اندازه‌گیری مستقیم میزان رسوبدهی مارن‌ها به کمک باران‌ساز صحرایی قابل حمل، تعیین شاخص‌های فرسایش‌پذیری و برآورد رسوبدهی اراضی مارنی در شیب‌های مختلف دامنه‌ای رخمنون‌های مارنی استان بوده است. در حوضه‌های آبخیز استان آذربایجان شرقی از جمله در حوضه آجی‌چای و جنوب شرق استان، حوالی شهرستان‌های میانه - هشتپرود پهنه‌های مارنی با گسترش زیاد به چشم می‌خورد. که احداث سد شهید مدنی حوضه آجی‌چای و اجرای مسیر آزاد راه تبریز- زنجان در این رخمنون‌ها ضرورت تحقیقات در زمینه مارن‌ها را دو چندان می‌نماید.

#### پیشینه تحقیق

در زمینه تشکیلات مارنی کارهای تحقیقاتی و مطالعاتی متعددی صورت پذیرفته که در زیر به تعدادی از آنها اشاره می‌گردد.

عروض محله و همکاران (۱۳۷۸: ۸) با بررسی خصوصیات فیزیکوشیمیایی مارن و اشکال فرسایش ایجاد شده دریافت‌هایند که فرسایش ورقه‌ای در مارن‌های غیرپخش‌شونده و فرسایش خندقی و شیاری در انواع پخش‌شونده شایع است. سدیم بالا، SAR زیاد، سوری، کلر، Ph و Mg، از مهم‌ترین علل فرسایش‌پذیری مارن دانسته شده است.

عروض محله و همکاران (۱۳۷۸: ۸) در طرح شناخت و طبقه‌بندی مارن‌ها و بدلندها در حوضه آبخیز و فرقان، با توجه به خصوصیات فیزیکوشیمیایی، مارن‌ها را طبقه‌بندی کرده، چنین اظهار نموده‌اند، که از میان متغیرهای فیزیکی و شیمیایی، فقط متغیرهای شیمیایی در طبقه‌بندی فرسایشی مارن از لحاظ رسوب‌زاگی اهمیت دارند و لذا اقدامات اصلاحی جهت کاهش تولید رسوب را به بهسازی وضعیت شیمیایی مارن‌ها معطوف داشته است.

امیری و همکاران (۱۳۸۸: ۳۹۵) ارتباط بین میزان فرسایش با ویژگی‌های فیزیکو-شیمیایی در مارن‌های همدان به کمک آنالیزهای آماری بررسی نمودند و نتیجه‌گیری کردند که از بین ۲۳ متغیر فیزیکی و ۱۵ متغیر شیمیایی تنها ۹ متغیر فیزیکو-شیمیایی با میزان تلفات خاک رابطه معنی‌دار و خطی نشان می‌دهد که نشانه خمبزی، درصد رس و نسبت رس به ترتیب مهم‌ترین متغیرها برای ارزیابی میزان تلفات خاک از مارن‌های منطقه می‌باشند.

سلماسی (۱۳۸۶: ۴) ارزیابی نقش خصوصیات فیزیکی-شیمیایی مارن‌های حوضه آجی‌چای در ایجاد اشکال مختلف فرسایش آبی را مورد تحقیق قرار داد، نتایج نشان داد که از بین ویژگی‌های فیزیکی و شیمیایی اندازه‌گیری شده، pH، گج و درصد شن نمونه‌ها اختلاف معنی‌دار در بین اشکال مختلف فرسایش داشته‌اند. مقایسه میانگین‌ها نشان داد که تفاوت معنی‌دار pH در بین فرسایش‌های توده‌ای و هزاردره‌ای، درصد شن در بین فرسایش‌های خندقی و هزاردره‌ای و مقدار گج در بین فرسایش‌های شیاری، خندقی، نیز هزار دره‌ای و خندقی وجود دارد.

شكل‌آبادی و همکاران (۱۳۸۲: ۱۳) با استفاده از باران‌ساز مصنوعی میزان تولید رواناب و رسوب را در روی خاک‌های با مواد مادری متفاوت اندازه‌گیری نموده و نتیجه‌گیری کردند که خاک‌های ناشی از آندزیت سبز رنگ و با منشاً رسوبی آذرینی دارای بیشترین رواناب و

همچنین بیشترین رسوب هستند و حداقل مقدار رسوب را برای سنگهای گرانودبوریتی و آبرفتی بدست آورند.

سوزانه و همکاران (۱۹۹۹: ۴۵) در تحقیقی مشخص نمودند که بیشترین گالی در رسوباتی دیده شده که سدیم محلول (ESP) و نسبت جذب سدیم (SAR) بالای دارند. در گالی‌ها این دو پارامتر می‌تواند یک شاخص مهم در میزان پخشیدگی خاک باشد.

بوما (۱۹۹۸: ۱۰۵) پارامترهایی نظیر SAR، درصد کلسیت و مینرالوژی رسی در نمونه‌های مارن سفید، قهوه‌ای و خاکستری بدلندی را مورد بررسی قرار داده و نتیجه گرفت که پارامترهای EC و SAR ارتباط بالایی با فرسایش‌پذیری بدلندها داشته‌اند. کربنات کلسیم در مارن‌های سفید سبب پایدار شدن این نوع مارن‌ها نسبت به انواع خاکستری و قهوه‌ای شده است.

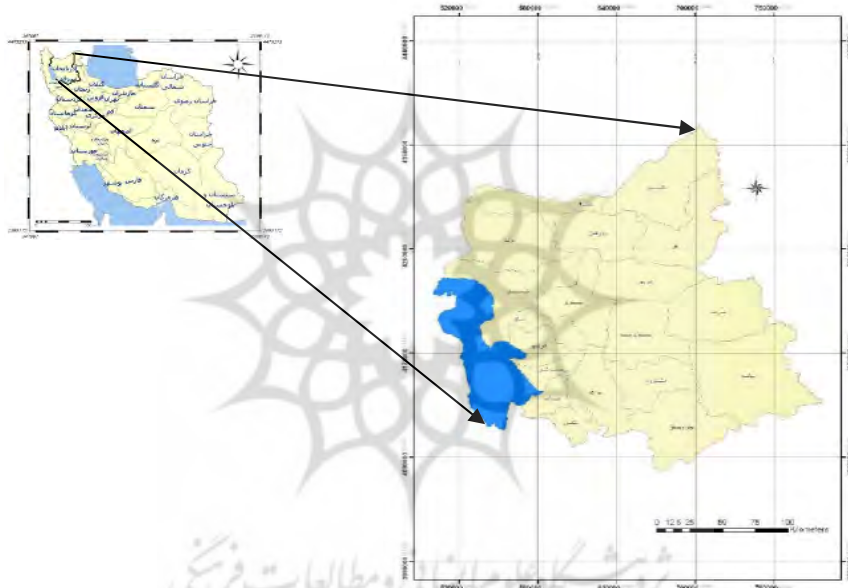
محمد (۲۰۰۰: ۱۹۳) نقش کانی‌های رسی را در پایداری خاک‌های مارنی در مناطق حاره‌ای و نیمه حاره‌ای خلیج فارس، امارات متحده عربی بررسی و نتیجه گرفته که آهک در تثبیت خاک‌های مارنی می‌تواند موثر باشد (۷).

پورمتین (۲۰۰۲: ۵) انواع فرسایش در مارن‌های ایران را بررسی نموده و ضمن اشاره به رسوب‌زایی این خاک‌ها بخصوص در سدهای سفیدروه، پانزده خرداد و ساوه، اشکال فرسایشی ایجاد شده در این مناطق را بررسی نموده است. ایشان در طرح خود غالب اشکال فرسایشی در مارن را فرسایش ورقه‌ای، شیاری و بدلند اشاره نموده است. همچنین در مناطقی مارن از نسبت SAR بالا برخوردار هستند فرسایش خندقی توسعه یافته است (۸).

با نگاهی گذرا به سابقه تحقیق می‌توان دریافت که هنوز مطالعات جامعی بر روی فرسایش‌پذیری مارن‌ها به انجام نرسیده است. با توجه به اهمیت موضوع و تنوع اقلیمی و ژئومورفولوژیکی مارن‌های ایران، ضروری به نظر می‌آید که تحقیقات جامع و کاملی در این مورد می‌بایست صورت پذیرد. این مقاله به قسمتی از این تحقیقات در بخش بررسی روان‌آب - رسوب در نهشته‌های مارنی مناطق مختلف ژئومورفولوژیکی استان می‌پردازد.

### موقعیت منطقه مطالعاتی

استان آذربایجان شرقی با مساحتی حدود ۴۵۶۸۱/۱ کیلومتر مربع در شمال غربی ایران و در موقعیت جغرافیایی  $۳۹^{\circ} ۲۶'$  تا  $۴۵^{\circ} ۳۶'$  عرض شمالی و  $۵^{\circ} ۴۳'$  تا  $۵^{\circ} ۴۵'$  طول شرقی قرار دارد. آذربایجان شرقی در محدوده دو حوضه آبریز اصلی از حوضه‌های اصلی دوازده گانه کشور بر اساس تقسیم‌بندی مهندسین مشاور جامع آب کشور قرار دارد (شکل ۱).



شکل (۱) موقعیت استان آذربایجان شرقی

### مواد و روش‌ها

روش تحقیق بکار گرفته شده در این پژوهش از نوع آماری- تحلیلی مبتنی بر داده‌های میدانی می‌باشد. بدین منظور ابتدا با استفاده از نقشه‌های زمین‌شناسی ۱/۲۵۰۰۰۰ اقدام به تهییه نقشه رقومی سنگ‌شناسی سطحی منطقه مطالعاتی گردید. سپس نقشه محدوده رخنمون‌های مارنی استان با استفاده از نقشه‌های رقومی تهییه شده استخراج شد. پس از آن نقشه رقومی اقلیم در سه کلاس اقلیمی و با توجه به روند گسترش مارن‌ها تهییه گردید. همچنین نقشه

رقومی شبیب در پنج کلاس فرسایشی با استفاده از نقشه DEM<sup>۱</sup> تهیه شد. نقشه‌های فوق جهت تعیین واحدهای کاری در سیستم GIS<sup>۲</sup> قطع داده شدند، و در نهایت نقاط مورد مطالعه جهت بررسی‌های رواناب- رسوب و واحدهای کاری عملیات صحراوی تعیین گردید. سپس با استفاده از باران‌ساز دستی قابل حمل در کوهستان اقدام به ایجاد بارش و جمع‌آوری رواناب و رسوب گردید که پس از انتقال به آزمایشگاه مورد اندازه‌گیری و تجزیه و تحلیل قرار گرفتند.

### یافته‌های

از نظر ژئومورفولوژی ساختمانی منطقه مطالعاتی شامل بخشی از رشته کوه‌های البرز مرکزی و آذربایجان است، و قدیم‌ترین سازندهای زمین‌شناسی در محدوده جغرافیایی استان مربوط به پرکامبرین بوده و شامل سازند کهر در منطقه تسوج و سازند سلطانیه در جنوب شرقی ملکان می‌باشد. گسترش رخمنون‌های پالئوزوئیک کمتر بوده و عمدۀ نهشته‌های استان مربوط به دوران مزو佐ئیک به خصوص سنگ‌های آهکی و مارنی کرتاسه و دوران سنوزوئیک با رسوبات تبخیری دوره میوسن است. جدول ۱ درصد و مساحت سازندها و شکل ۲ نقشه سازندهای زمین‌شناسی را نشان می‌دهد.

### سازندهای مارنی

با اینکه تعریف مشخصی از مارن و سازندهای مارنی وجود ندارد، ولی می‌توان گفت که مارن<sup>۳</sup> واژه‌ای است با معانی مختلف که به مواد آهکی- رسی ته نشست شده همزمان در داخل حوضه‌های آبریز شیرین و دریایی اطلاق می‌گردد. نقشه سازندهای مارنی بر اساس نقشه‌های زمین‌شناسی و لیتوژوژی سطحی، استخراج می‌گردد که بر این اساس سه لایه مارنی شامل مارن کرتاسه، مارن میوسن و مارن ائوسن بدست آمد که نقشه آن در شکل ۳ آمده است. همچنان که در نقشه ملاحظه می‌گردد، مارن‌های کرتاسه در نواحی شمالی

1- Digital Elevation map  
2- geographic Information System  
3- Marl

استان گسترش یافته و مارن‌های اؤسن در شمال غرب استان نهشته شده‌اند. مارن‌های میوسن که دارای بیشترین گسترش در استان می‌باشند، اغلب در نواحی مرکزی و جنوب شرقی در امتداد شمال غرب - جنوب شرق گسترش نشان می‌دهند.

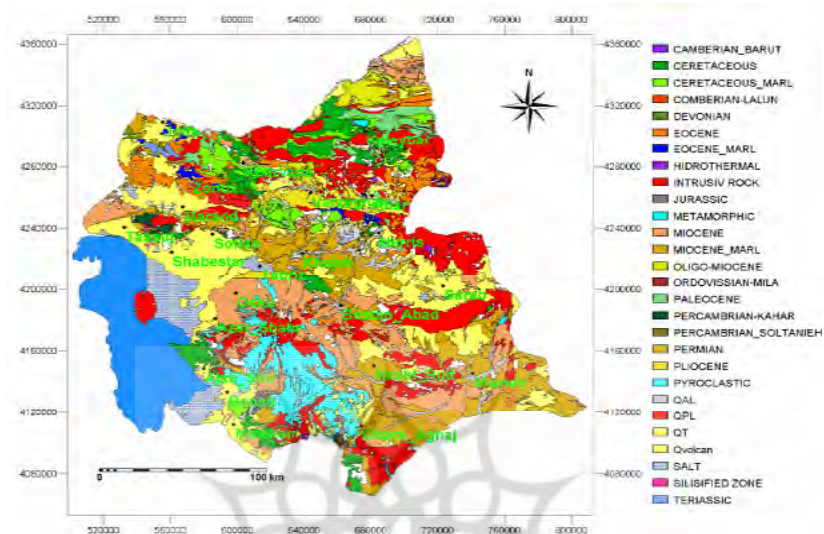
الف) سازند مارنی کرتاسه: آهک‌های بیومیکراتیک<sup>۱</sup> با لایه‌بندی متوسط تا توده‌ای و میان لایه‌های مارنی ژیپس‌دار گستردۀ ترین واحد لیتولوژیکی کرتاسه را تشکیل می‌دهند. این واحد بیشتر در جنوب رودخانه ارس و محدوده شهرستان‌های کلیر و خاروانا گسترش دارد. بررسی کانی‌شناسی و شیمیایی نمونه‌های برداشت شده نشان می‌دهد که این مارن‌ها در محدوده مارن‌های کلسیتی و کلریتی می‌باشد.

ب) سازند مارنی اؤسن: شرایط کولاپی وخشکی حوضه رسوی اؤسن فوقاری سبب تشکیل رخساره مارن‌های سبز خاکستری همراه با رگچه‌های گچ با میان لایه‌های ماسه و شیل شده است. بیشترین گسترش این رسوبات در مناطق جلفا و زنجوز می‌باشد

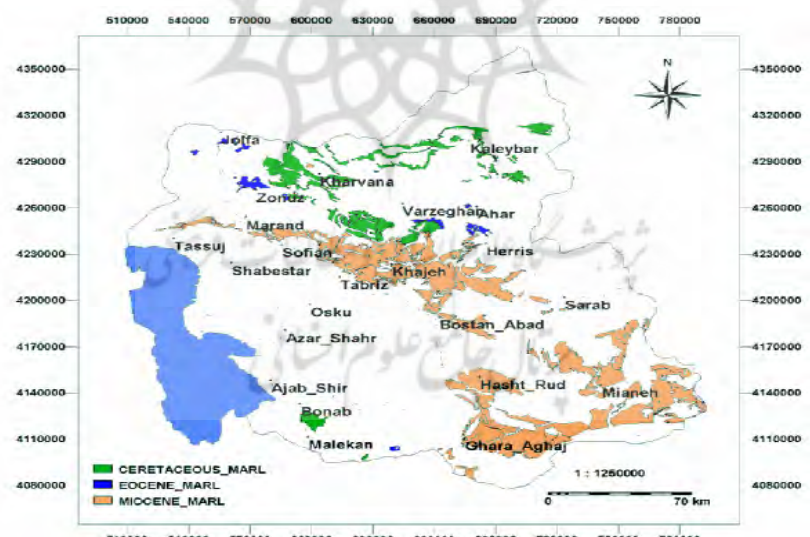
ج) سازند مارنی میوسن: در نواحی مرکزی نقشه زمین‌شناسی با امتداد شرفی - غربی یکسری نهشته‌های مارنی الوان مشاهده می‌گردد که لیتولوژی آنها شامل تنابوی از مارن - آهک، شیل، ماسه سنگ و در برخی موارد حاوی ژیپس بین تشکیلاتی می‌باشد. کانی‌شناسی این مارن‌ها عمدتاً از مونتموریلونایت تشکیل یافته و منشاء اصلی رسوپزایی در حوضه آبریز آجی‌چای (تلخه‌رود) می‌باشد.

جدول (۱) درصد و مساحت سازندهای مارنی استان

| مساحت (هکتار) | درصد  | مارن‌های دوره زمین‌شناسی |
|---------------|-------|--------------------------|
| ۳۶۲۵          | ۱/۰۸  | EOCENE_MARL              |
| ۶۹۸۲۵         | ۲۰/۸۹ | CERETACIOS_MARL          |
| ۲۶۰۷۲۵        | ۷۸/۰۲ | MIOCENE_MARL             |



شکل (۲) نقشه سازندهای زمین‌سنجی آذربایجان شرقی



شکل (۳) نقشه پراکنش مارنی استان

## ویژگی‌های اقلیمی

حاکمیت اقلیم نیمه‌خشک در استان باعث شده که رودخانه‌ها از لحاظ میزان آبدھی در طول سال از نوسانات قابل توجهی برخوردار باشند، بطوری که تمام رودخانه‌ها و مسیل‌های استان در فصل بهار دارای آب ناشی از نزولات بهاری و ذوب تدریجی برف ارتفاعات و در تابستان به علت عدم بارندگی و نبود ذخایر برفی در ارتفاعات به حداقل می‌رسند. بطوری که با شروع فصل پائیز و بارش‌های پراکنده به تدریج جریانات سطحی در رودخانه افزایش می‌یابند. به دلیل کوهستانی بودن منطقه و اقلیم حاکم بر آن، در بخش وسیعی از ارتفاعات در فصل سرما نزولات جوی به شکل برف می‌باشد.

## خصوصیات توپوگرافیکی

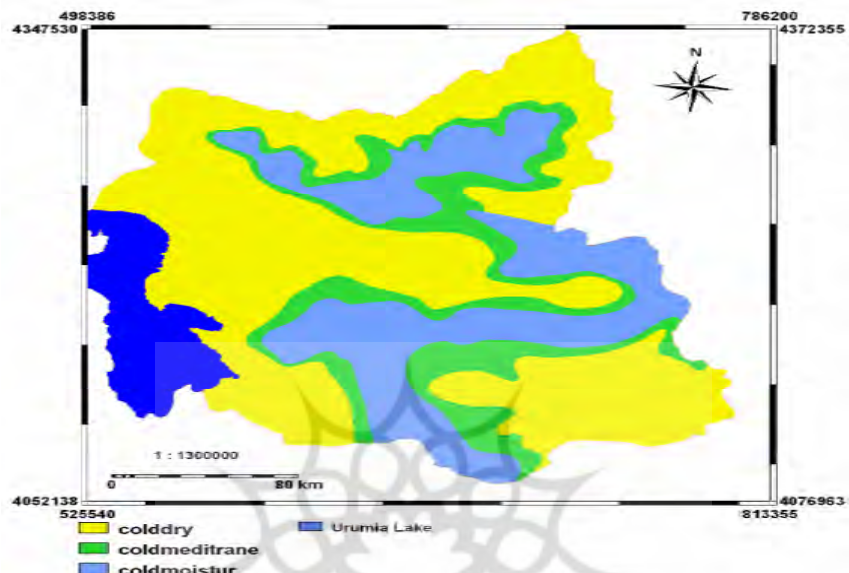
استان آذربایجان شرقی در گوشش شمال غربی فلات ایران و در محدوده دو حوضه آبریز اصلی از حوضه‌های اصلی دوازده‌گانه کشور بر اساس تقسیم‌بندی مهندسین مشاور جامع آب کشور قرار دارد. اغلب رشته کوه‌های منطقه از جمله سهند، میشو و مورو در جهت شرقی - غربی کشیده شده‌اند. ارتفاع عمومی استان نیز از ۱۶۰ در حاشیه ارس تا ۳۷۰۷ متراز سطح دریا در رشته کوه‌های سهند متغیر است. سه حوضه آبریز اصلی موجود در استان شامل ارس، قزل‌اوزن (سفید رود) و حوضه آبریز دریاچه ارومیه می‌باشد.

## اقلیم پهنه‌های مارنی استان

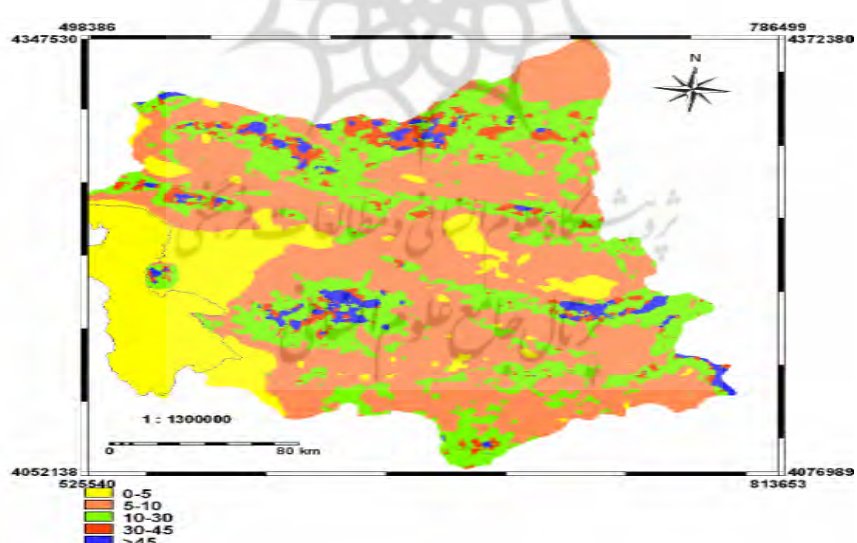
نقشه اقلیم استان آذربایجان شرقی با استفاده از روش دومارتون تهیه گردید. سپس با توجه به گسترش لایه‌های مارنی نقشه اقلیم استان در سه لایه سرد خشک، سرد مدیترانه‌ای و سرد مرطوب تهیه شد که شکل ۴ این نقشه را نشان می‌دهد.

## نقشه شیب استان

نقشه شیب استان با استفاده از نقشه‌های توپوگرافی ۱/۵۰۰۰۰ و تهیه نقشه Dem استان در ۵ کلاس با توجه به دستورالعمل طرح ملی تهیه گردید. این نقشه شامل کلاس‌های ۵-۰، ۱۰-۵، ۳۰-۱۰، ۴۵-۳۰ و بیشتر از ۴۵ می‌باشد که در شکل ۵ آمده است.



شکل (۴) نقشه اقلیم استان



شکل (۵) نقشه شیب استان

### تهیه واحدهای کاری مارن در استان

پس از استخراج نقشه محدوده‌های مارنی، نقشه رقومی اقلیم و نقشه شیب استان این سه نقشه با هم در سیستم GIS قطع داده شدند که در شکل ۶ آمده است. در نهایت نقاط نمونه‌برداری تعیین گردید. سپس عملیات صحراوی به منظور تعیین پهنه‌های مارنی جهت نصب باران ساز و برآورد میزان روان آب و رسوب انجام شد. جهت بحث و بررسی‌های کمی پیرامون مقدار هدررفت خاک در واحدهای مارنی از باران‌ساز مصنوعی دستی استفاده شد، این باران‌ساز در پروژه‌های حفاظت خاک، تعیین فرسایش خاک در خاک‌های مختلف کاربرد دارد و با توجه به مشکلات حمل شبیه‌سازهای باران بزرگ از این مدل استفاده گردید. این شبیه‌ساز کاملاً استاندارد بوده و شامل سه قسمت می‌باشد:

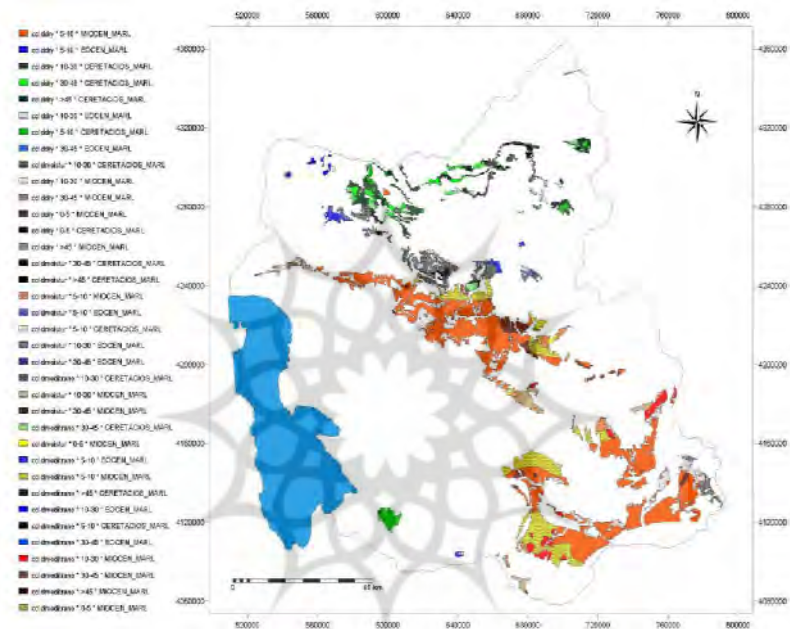
- یک آبپاش برای ایجاد دوش استاندارد با یک فشارسنج
- نگهدارنده برای آبپاش به عنوان سپر باد در صحرا
- فریم استیل به منظور جلوگیری از حرکت‌های جانبی آب

نتایج میزان روان آب و رسوب اندازه‌گیری شده در جدول ۲ ارایه شده است. چنانکه مشاهده می‌شود، بیشترین رواناب و رسوب جمع‌آوری شده مربوط به مارن میوسن است که حداقل رسوب جمع‌آوری شده با مقدار ۱۴۵ گرم بر لیتر در فرسایش خندقی و در شیب ۳۰-۱۰ درصد اتفاق افتاده است. پس از آن فرسایش شیاری با ۱۳۰/۸ گرم بر لیتر و فرسایش سطحی با ۱۲۸ گرم بر لیتر در رتبه‌های بعدی قرار دارند. بررسی‌های بعدی با انجام آزمایشات  $XRD^1$  نشان داد که مارن‌های میوسن استان اغلب دارای رس غالب از نوع مونت موریلونیت هستند و خاصیت آماس‌پذیری شدید این نوع از رس‌ها باعث روان شدن و رسوبزاگی بیشتر آنها گردیده است.

حداقل رسوب و رواناب جمع‌آوری شده مربوط به مارن کرتاسه به خصوص در فرسایش سطحی بوده که مقدار آن ۰/۹۴ گرم بر لیتر می‌باشد. همچنین در شکل ۷ نمودار همبستگی بین رواناب - رسوب رسم گردیده است. مشاهده می‌شود که در بعضی مناطق نمونه‌برداری

1- X-ray diffraction

از جمله نقاط نمونه برداری ۱۱ تا ۱۵ علی‌رغم افزایش رواناب رسوب کمتری جمع‌آوری شده که این مورد بیشتر در مارن‌های کرتاسه و مناطق با پوشش گیاهی مناسب و مراتع خوب مشاهده گردید.



شکل (ع) نقشه نهایی واحدهای کاری رخمنونهای مارنی

تجزیه و تحلیل آماری با استفاده از نرم افزار spss جهت بررسی همیستگی بین دادهها پس از همگن سازی آمار مربوط به شیب، رواناب و رسوب (شکل های ۸، ۹، ۱۰) صورت پذیرفت و بر اساس انواع فرسایش خندقی کد ۲، فرسایش شیاری کد ۲ و فرسایش سطحی کد ۳ پارامترهای شیب، رسوب و رواناب آنالیز آماری انجام گردید (جدول ۳).

جدول (۲) آمار رسوب و رواناب واحدهای مارنی

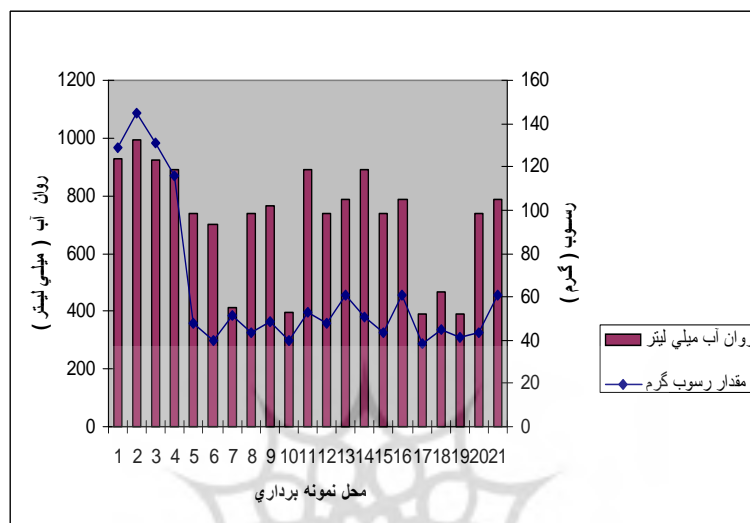
| سازند مارنی | کلاس فرسایشی | شیب توپوگرافی به درصد | ارتفاع رواناب میلی لیتر | مقدار رسوب گرم بر لیتر |
|-------------|--------------|-----------------------|-------------------------|------------------------|
| کرتاسه      | خندقی        | ۳۰-۱۰                 | ۱۱۴۵                    | ۲۶/۸                   |
| کرتاسه      | خندقی        | >۴۵                   | ۸۲۰                     | ۲۰/۴                   |
| کرتاسه      | خندقی        | ۱۰-۵                  | ۷۵۸                     | ۲۵/۴                   |
| میوسن       | خندقی        | ۱۰-۵                  | ۷۰۰                     | ۴۶/۳                   |
| میوسن       | خندقی        | ۵-۰                   | ۳۹۰                     | ۳۸/۷                   |
| ائوسن       | سطحی         | ۱۰-۵                  | ۶۶۲                     | ۴۳/۳                   |
| کرتاسه      | سطحی         | ۳۰-۱۰                 | ۵۰۸                     | ۳/۶                    |
| کرتاسه      | سطحی         | ۳۰-۱۰                 | ۱۱۴۵                    | ۲۶/۸                   |
| کرتاسه      | سطحی         | ۴۵-۳۰                 | ۳۰۰                     | .۹۴                    |
| ائوسن       | سطحی         | ۳۰-۱۰                 | ۴۳۸/۵                   | ۷/۱                    |
| کرتاسه      | سطحی         | ۱۰-۵                  | ۷۵۸                     | ۲۵/۴                   |
| کرتاسه      | سطحی         | ۳۰-۱۰                 | ۹۵۸                     | ۱۱/۱                   |
| کرتاسه      | سطحی         | >۴۵                   | ۸۲۰                     | ۲۰/۴                   |
| میوسن       | شیاری        | ۱۰-۵                  | ۷۰۰                     | ۴۶/۳                   |
| میوسن       | شیاری        | ۳۰-۱۰                 | ۹۴۰                     | ۱۳۰/۸                  |
| میوسن       | سطحی         | ۳۰-۱۰                 | ۹۴۰                     | ۱۳۰/۸                  |
| میوسن       | سطحی         | ۱۰-۵                  | ۷۱۰                     | ۴۷/۲                   |
| میوسن       | سطحی         | ۵-۰                   | ۳۹۰                     | ۳۸/۷                   |
| میوسن       | سطحی         | ۱۰-۵                  | ۷۴۰                     | ۴۷/۶                   |
| میوسن       | سطحی         | ۳۰-۱۰                 | ۹۲۵                     | ۱۲۷/۹                  |
| میوسن       | خندقی        | ۳۰-۱۰                 | ۹۳۰                     | ۱۲۸/۸                  |
| میوسن       | خندقی        | ۳۰-۱۰                 | ۹۹۵                     | ۱۴۵                    |
| میوسن       | خندقی        | ۳۰-۱۰                 | ۹۲۵                     | ۱۳۰/۸                  |
| میوسن       | سطحی         | ۳۰-۱۰                 | ۸۹۰                     | ۱۱۵/۷                  |
| میوسن       | شیاری        | ۱۰-۵                  | ۷۴۰                     | ۴۷/۶                   |
| میوسن       | شیاری        | ۱۰-۵                  | ۶۹۸                     | ۳۹/۶۵                  |



|       |     |      |       |       |
|-------|-----|------|-------|-------|
| ۵۱/۶۵ | ۴۱۲ | ۵-۰  | شیاری | میوسن |
| ۴۸/۷  | ۷۶۵ | ۱۰-۵ | شیاری | میوسن |
| ۳۹/۸  | ۳۹۷ | ۵-۰  | شیاری | میوسن |
| ۵۳    | ۸۹۰ | ۱۰-۵ | شیاری | میوسن |
| ۶۱    | ۷۸۹ | ۱۰-۵ | شیاری | میوسن |
| ۶۱    | ۷۸۹ | ۱۰-۵ | سطحی  | میوسن |
| ۳۸/۷  | ۳۹۰ | ۵-۰  | شیاری | میوسن |
| ۴۴/۷  | ۴۶۸ | ۵-۰  | سطحی  | میوسن |

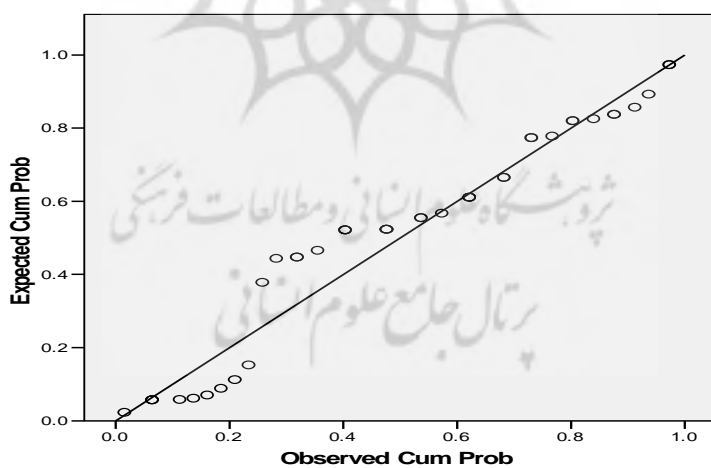
جدول (۳) آمار توصیفی متغیرهای واحدهای مارنی

| متغیر | کلاس | تعداد    | میانگین | انحراف معیار | خطای معیار | حدود اطمینان در %۹۵ سطح |         | بیشترین کمترین | ردیف   |
|-------|------|----------|---------|--------------|------------|-------------------------|---------|----------------|--------|
|       |      |          |         |              |            | حد پایین                | حد بالا |                |        |
| شیب   | ۱    | ۳/۷۷۳۹   | ۱/۷۷۶۱  | ۰/۴۱۱۸       | ۱/۱۶۴۹     | ۲/۷۵                    | ۸       | ۱              | رواناب |
|       | ۱    | ۲/۱۸۱۴   | ۱/۵۱۱۰  | ۰/۱۵۳۸       | ۰/۵۵۴۷     | ۱/۸۴۶                   | ۱۳      | ۲              |        |
|       | ۱    | ۲/۹۱۷۴   | ۱/۹۸۲۶  | ۰/۲۲۳۳       | ۰/۹۹۸۶     | ۲/۴۵                    | ۲۰      | ۳              |        |
|       | ۳۹۰  | ۱۰۲۲/۷۸  | ۶۴۲/۹۵۹ | ۸۰/۳۱۱۱      | ۲۲۷/۱۰۴۰   | ۸۳۲/۸۷                  | ۸       | ۱              |        |
| رسوب  | ۳۹۰  | ۸۱۲/۴۸۴۰ | ۵۸۶/۷۴۷ | ۵۱/۸۰۲۹      | ۱۸۶/۷۷۸۰   | ۶۹۹/۶۱                  | ۱۳      | ۲              | رسوب   |
|       | ۳۰۰  | ۸۱۰/۳۳۹۰ | ۶۰۰/۰۸۰ | ۵۰/۲۲۸۷      | ۲۲۴/۶۲۹۰   | ۷۰۵/۲۱                  | ۲۰      | ۳              |        |
|       | ۲۰/۴ | ۱۱۵/۶۶۷۰ | ۲۴/۸۸۳۵ | ۱۹/۱۹۶۱      | ۵۴/۲۹۴۷    | ۷۰/۲۷                   | ۸       | ۱              |        |
|       | ۳۸/۷ | ۶۸/۲۷۰۹  | ۳۹/۳۲۹۱ | ۶/۶۴۱۶       | ۲۳/۹۴۶۷    | ۵۳/۸                    | ۱۳      | ۲              |        |
| ۱۳۰/۸ | ۰/۹۴ | ۶۴/۸۱۰۶  | ۲۹/۳۳۳۴ | ۸/۴۷۵۰       | ۳۷/۹۰۱۷    | ۴۷/۰۷                   | ۲۰      | ۳              |        |

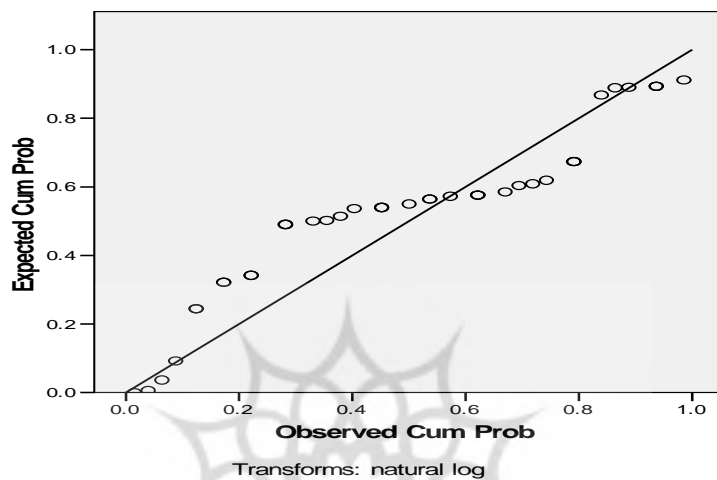


شکل (۷) نمودار همبستگی رواناب و رسوب

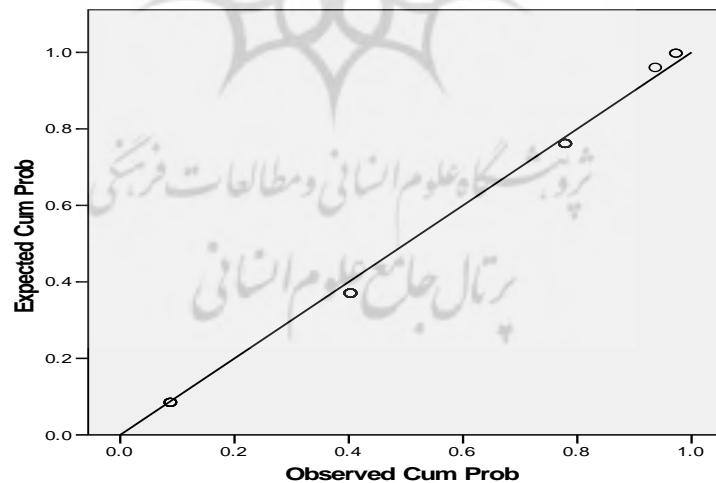
Normal P-P Plot of runoff



شکل (۸) نمودار همگن‌سازی رواناب

**Normal P-P Plot of sediment**

شکل (۹) نمودار همگن سازی رسوب

**Normal P-P Plot of slopegeo**

شکل (۱۰) نمودار همگن سازی شب

جدول (۴) تجزیه واریانس متغیرهای شبیه، رواناب و رسوب

| متغیر   | کل          | درون گروه   | بین گروه  | مجموع مربعات | درجه‌آزادی | میانگین مربعات | F     | سطح معنی‌داری |
|---------|-------------|-------------|-----------|--------------|------------|----------------|-------|---------------|
| شبیه    | ۳۶/۸۷۸      | ۳۲/۱۴۲      | ۴/۷۳۶     | ۲            | ۲/۳۶۸      | ۰/۰۷۳          | ۲/۷۹۹ | ۰/۰۷۳         |
|         | ۱۰۸۴۷/۲۷۵   | ۱۷۳۸۵۳۴/۱۶۰ | ۵۴۴۲۳/۶۳۷ | ۳۸           | ۰/۸۴۶      |                |       |               |
|         | ۱۸۴۷۳۸۱/۴۳۵ | ۳۶/۸۷۸      | ۴۰        | ----         |            |                |       |               |
| روان آب | ۱۰۸۴۷/۲۷۵   | ۱۷۳۸۵۳۴/۱۶۰ | ۵۴۴۲۳/۶۳۷ | ۳۸           | ۰/۳۱۵      | ۱/۱۹۰          | ۰/۳۱۵ |               |
|         | ۱۸۴۷۳۸۱/۴۳۵ | ۳۶/۸۷۸      | ۴۰        | ----         |            |                |       |               |
|         | ۳۰۷۶/۵۳۹    | ۵۴۸۱۱/۰۶۰   | ۱۵۳۸/۲۶۹  | ۳۸           | ۰/۳۵۴      | ۱/۰۶۶          |       |               |
| رسوب    | ۵۷۸۸۷/۵۹۹   | ۵۴۸۱۱/۰۶۰   | ۱۵۳۸/۲۶۹  | ۳۸           | ۰/۳۱۵      | ۱/۱۹۰          |       |               |
|         | ۳۰۷۶/۵۳۹    | ۱۷۳۸۵۳۴/۱۶۰ | ۵۴۴۲۳/۶۳۷ | ۳۸           |            |                |       |               |
|         | ۳۶/۸۷۸      | ۱۰۸۴۷/۲۷۵   | ۵۴۴۲۳/۶۳۷ | ۴۰           |            |                |       |               |

### نتیجه‌گیری

نتایج نشان داد که:

ضریب هبستگی شبیه توپوگرافی با مقدار روان آب، بیکربنات، درصد اشباع (SP)، به ترتیب برابر با  $۰/۴۷۹$ ،  $۰/۴۲۴$ ،  $۰/۵۷۱$ ،  $۰/۴۲۴$ - بوده و از نظر آماری ارتباط آنها باهم کاملاً معنی‌دار هستند.

ضریب هبستگی ساده بین رواناب با مقدار رسوب و اسیدیته به ترتیب برابر  $۰/۴۵۲$  و  $۰/۳۳۴$ - بوده و ارتباط آنها باهم معنی‌دار است.

ضریب هبستگی مقدار رسوب ناشی از فرسایش خاک توسط باران‌ساز با کربن آلی و مواد خنثی‌شونده برابر با  $۰/۳۷۴$  و  $۰/۳۸۲$ - بوده و ارتباط معنی‌دار دارند.

میزان رسوب و روان آب همبستگی کاملی باهم نشان می‌دهند و در مواردی که با وجود رواناب زیاد، رسوب کمتر جمع شده است مربوط به شبیه زیاد و پوشش گیاهی خوب است . (شکل ۷).



بررسی‌ها نشان داد که اغلب مارن‌های کرتاسه در شمال و شمال شرقی استان پراکنده می‌باشند.

با توجه به بررسی خصوصیات مارن‌ها مشاهده گردید که مارن‌های میوسن به علت دارا بودن املاح گچی و نمکی بیشترین سهم را در فرسایش و تولید رسوب دارند و در حوضه‌های رسوبی همچون آجی‌چای به وضوح به چشم می‌خورد.

بین مقدار رواناب-رسوب ارتباط معنی‌دار به خصوص در مارن‌های میوسن وجود دارد.

پوشش گیاهی از عوامل کنترل‌کننده رسوب بوده و این عامل بیشتر در مارن‌های کرتاسه نقش دارد.



## منابع

- ۱- امیری، منوچهر و همکاران (۱۳۸۸)، «بررسی ارتباط میزان فرسایش با ویژگی‌های فیزیک و شیمیایی در مارن‌های همدان به کمک آنالیزهای آماری»، یازدهمین کنگره علوم خاک ایران-گرگان، ص ۳۹۵.
- ۲- حبیب‌زاده، احمد و همکاران (۱۳۸۹)، «گزارش نهایی طرح تحقیقاتی بررسی و طبقه‌بندی شاخص‌های فرسایش‌پذیری مارن‌های استان آذربایجان شرقی»، مرکز تحقیقات خشکسالی و کم آبی.
- ۳- رفاهی، حسینقلی (۱۳۷۵)، «فرساش آبی و کنترل آن»، تهران، انتشارات دانشگاه تهران.
- ۴- شکل‌آبدی، محسن و همکاران (۱۳۸۲)، «تولید رواناب و رسوب در خاک‌های با مواد مادری متفاوت در حوضه آبخیز گل‌اباد اردستان»، مجله علوم و فنون کشاورزی و منابع طبیعی، ش ۲، ص ۸۵-۱۰۰.
- ۵- ضیائی، حجت‌الله (۱۳۸۰)، «اصول مهندسی آبخیزداری»، مشهد، دانشگاه امام رضا (ع)، ص ۵۴۲.
- ۶- قدیمی عروس محله، فریدون و همکاران (۱۳۷۸)، «بررسی منشاء مارن‌های تفرش»، پژوهش و سازندگی، ش ۴۴، ص ۸-۱۱.
- ۷- قدیمی عروس محله، فریدون و همکاران (۱۳۷۹)، «بررسی عوامل موثر بر تشديد و گسترش فرسایش ورقه‌ای و شیاری در حوضه آبخیز قمرود»، پژوهش و سازندگی، ش ۴۹، ص ۴۲.
- 8- A.M.O. Mohamed (2000), “The Role of Clay Minerals in Marly Soils on its Stability” *Engineering Geology*, 57 (2000)193-203.
- 9- Artemi.Creda.(2002),“The Effect of Season and Parent Material on Water Erosion on Highly Eroded Soils in Eastern Spain” *Jornal of Arid Environments*, (2002)52:319-337.
- 10- Bennet, H.H. (1939), “***Soil Conservation***” Mc-Grawe Hill Book Company.

- 
- 
- 11- Bouma, A. (1998), "Investigation of Relationships between Measured Field Indicators and Erosion Processes on Badland Surface at Petrer, Spain", *SSSA*, 25:105-109.
  - 12- Meyer, L.D. (1994), "*Rainfall Simulators for Soil Erosion Research*", pp.83-104 In: R.La1 (Ed.) *Soil Erosion Research Methods 2<sup>nd</sup> ed.* St. Lucie Press and Soil and Water Conserve, Soc., Ankeny, Iowa. USA.
  - 13- Ramos, M.C.S. Nacci and I.Pla. (2000), "Soil Sealing and its Influence on Erosion Rates for Some Soil in the Mediterranean Area", *Soil Sci.*165: 398-403.
  - 14- Suzanne, V. et.al. (1999), "Some Physical and Chemical Properties of Sediments Exposed in Gully in Northern KwaZulu-Natal, South Africa", Hughes University of Natal, *Soil Science*, 155: 45-50.

